

*Письма в ЖЭТФ, том 11, стр. 105 – 110*

*20 января 1970 г.*

**ЗАВИСИМОСТЬ ОРИЕНТАЦИОННОГО МАГНИТООПТИЧЕСКОГО  
ЭФФЕКТА ОТ НАМАГНИЧЕННОСТИ**

*Г.С.Кринчик, Е.Е.Чепурова*

В работе [1] сообщалось о наблюдении нового магнитооптического эффекта в ферромагнитных металлах. Эффект состоит в изменении интенсивности отраженного света и сопоставим по величине с обычным экваториальным эффектом Керра, но в отличие от него является четным по намагниченности и резко анизотропным. Предполагается, что

этот эффект вызван влиянием ориентации вектора намагниченности (в дальнейшем мы будем называть его ориентационным магнитооптическим эффектом) на электронную структуру ферромагнетика благодаря наличию спин-орбитального взаимодействия. В данной работе установлена зависимость этого эффекта от намагниченности.

Измерения проводились на тонких пермаллоевых страйп-пленках (подробности и ссылки см. в [21]). Выбор образцов был обусловлен тем, что доменная структура этих пленок очень проста (см. рис. 1) и намагничивание пленки осуществляется путем одновременного увеличения угла  $\phi$  во всех доменах. Кроме того из-за малости намагничивающего поля ( $H_S \approx 100$  э) и малого объема образца практически сведены к ну-

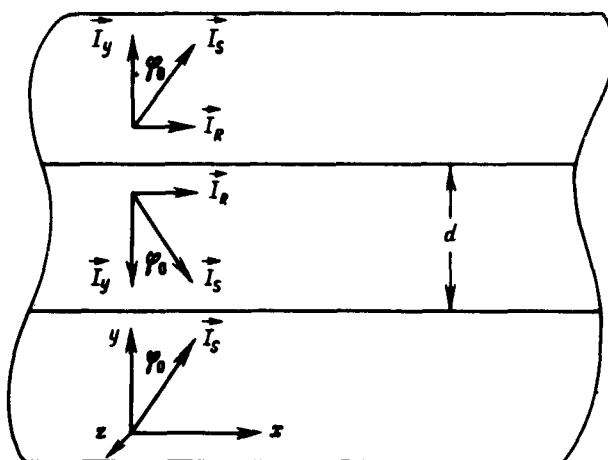


Рис. 1.

лю все виды наводок и помех. На чувствительной магнитооптической установке [1] регистрировалось изменение интенсивности отраженного света при произвольном изменении угла  $\phi$  в интервалах  $\phi_0 < \phi < \pi/2$  и  $-\phi_0 < \phi < -\pi/2$ , т. е. в области, где  $I_x$  зависит линейно от  $H$ . К образцу могли быть одновременно приложены различные по величине постоянное  $H_0$  и переменное  $H_\sim$  магнитные поля.  $H_\sim$  обеспечивает периодическое изменение намагниченности относительно любого  $I$ , определяемого величиной и знаком  $H_0$ . Непосредственно измерялось относительное изменение интенсивности отраженного света  $\delta = \frac{J(I_1) - J(I_2)}{J(I)}$ ,

соответствующее изменению намагниченности от  $I_1$  до  $I_2$ . Изменение знака  $H_0$  позволяло при геометрии экваториального эффекта Керра ( $H \parallel x$ , плоскость падения света  $yz$ ) получить два значения эффекта:

$\delta_a$  — соответствующее изменению  $I_x$  от  $I_1$  до  $I_2$  и  $\delta_b$  — от  $-I_2$  до  $-I_1$ . При этом обычный экваториальный эффект Керра  $\delta_{\text{ЭКР}} = \delta_{\text{нечет}} = (\delta_a + \delta_b)/2$ , а обнаруженный в [1] ориентационный магнитооптический эффект  $\delta_{\text{ор}} = \delta_{\text{четн}} = (\delta_a - \delta_b)/2$ . Первая серия измерений (I) была проведена при геометрии экваториального эффекта Керра.

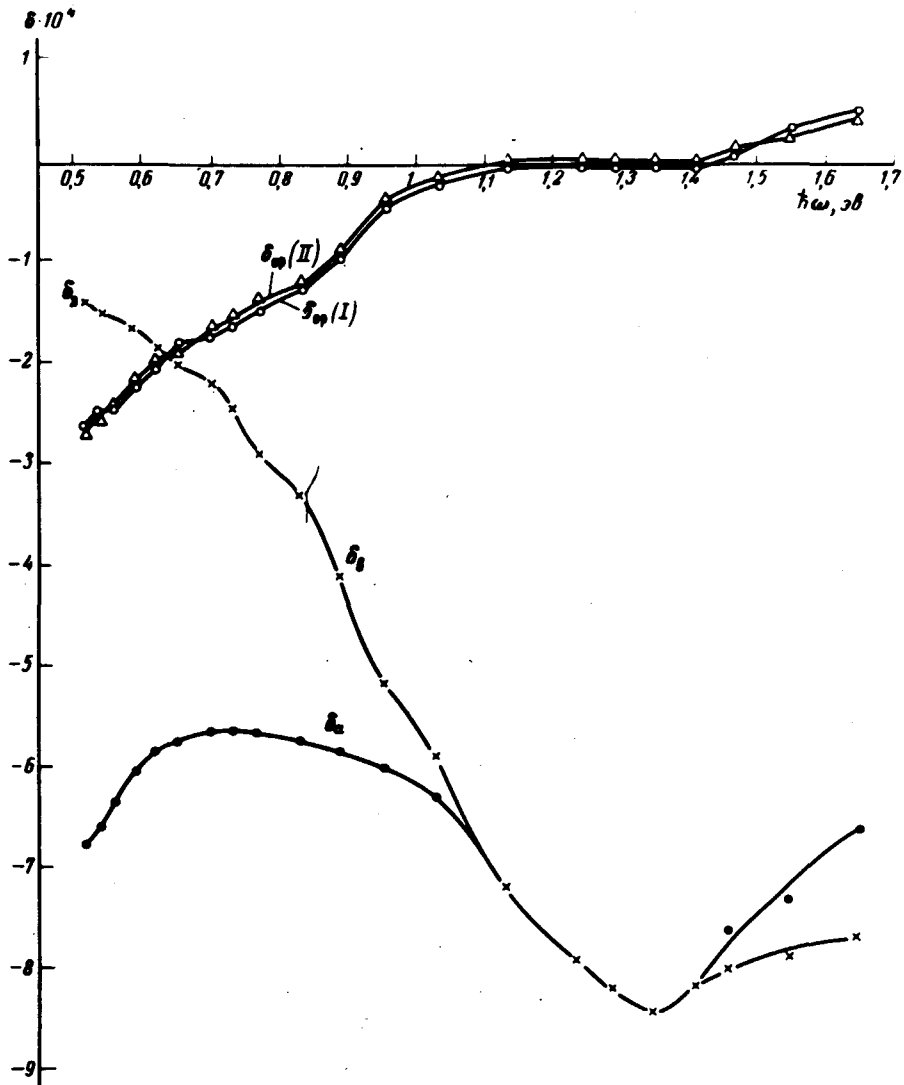


Рис. 2.

Н<sub>z</sub> устанавливалось равным полю насыщения Н<sub>s</sub>, а затем измерялись значения  $\delta_a$  и  $\delta_b$  при различных амплитудах Н<sub>ω</sub>. На рис. 2 представлены кривые зависимости  $\delta_a$ ,  $\delta_b$ ,  $\delta_{\text{ор}}(\text{I})$  от  $\lambda$  при изменении I от  $I_R$  до  $I_s$  для одной из пермаллоевых пленок ( $t = 6 \text{ мк}$ ;  $d = 22 \text{ мк}$ ;  $H_s = 95 \text{ э}$ ;  $I_R = I_s = 0,45$ ). Кривая  $\delta_{\text{ор}}(\lambda)$  для пермаллоя имеет такой же вид, как и соответствующая кривая  $\delta_b - \delta_a$  для никеля [1]. На

рис. 3 представлены зависимости  $\delta_{\text{ЭКВ}} / \delta_{\text{ЭКВ}}^s$  и  $\delta_{\text{оп}} / \delta_{\text{оп}}^s$  от величины  $I_x / I_s$ , полученные указанным способом при фиксированном значении  $\lambda$  и изменяющейся величине  $H_\infty$ . Необходимое для построения кривой  $\delta_{\text{оп}} / \delta_{\text{оп}}^s(I)$  значение  $\delta_{\text{оп}}^s$  было получено из соотношения

$$\frac{I = I_R}{\delta_{\text{оп}}} = \left( \frac{I_R}{I_s} \right)^2 \delta_{\text{оп}}^s = 0,2 \delta_{\text{оп}}^s.$$

Вторая серия измерений (II) была проведена при геометрии мериодионального эффекта Kerr'a ( $H \parallel x$ , плоскость падения света  $xz$ ). В этом случае величины  $\delta_{\text{ЭКВ}}$  и  $\delta_{\text{оп}}$  должны определяться составляющей  $I_y$ .

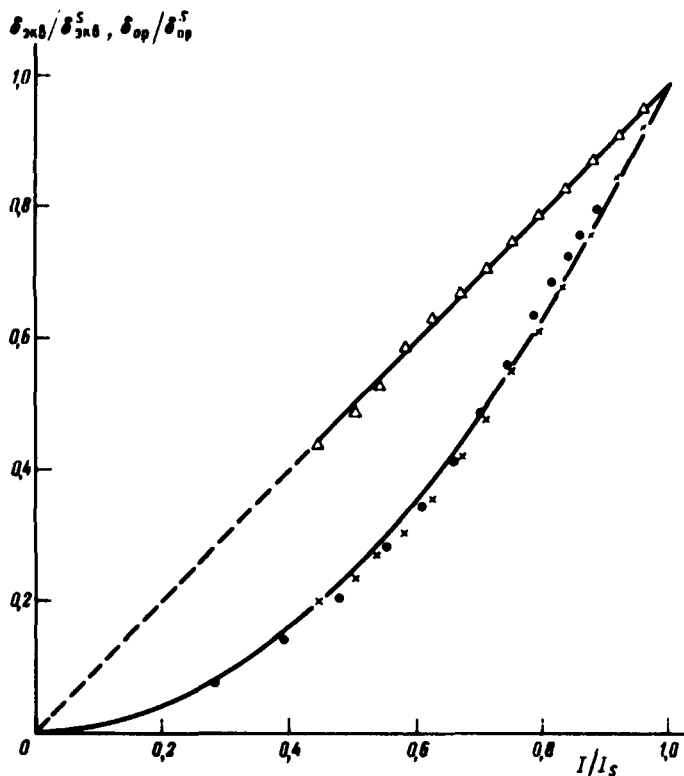


Рис. 3.  $\Delta\Delta - \delta_{\text{ЭКВ}} / \delta_{\text{ЭКВ}}^s$ ,  $\times\text{x} - \delta_{\text{оп}} / \delta_{\text{оп}}^s$  (серия I)  
 $\bullet\bullet - \delta_{\text{оп}} / \delta_{\text{оп}}^s$  (серия II)

Поскольку среднее значение  $I_y = 0$ ,  $\delta_{\text{ЭКВ}} = 0$  при любом  $H$ . Однако четный эффект  $\delta_{\text{оп}}$  не равен нулю, поскольку он определяется абсолютным значением  $I_y$  в каждом домене. Для характеристики ситуации отметим следующий "парадокс": при данной геометрии эффект  $\delta_{\text{оп}}$  должен достигать максимального значения при  $\phi = 0$ , т. е. на полностью размагниченном образце, а при  $I = I_s$   $\delta_{\text{оп}} = 0$ . На рис. 3

приведена зависимость  $\frac{\delta_{op}}{\delta_{op}^s}$  (II) от величины  $|I_y| / I_s$ . Здесь так-

$$\frac{\delta_{op}}{\delta_{op}^s} = \frac{I}{I_R}$$

же использована нормировка  $\delta_{op}^s = 0,2 \delta_{op}$ . Из графика видно, что полученные первым и вторым способом экспериментальные точки ложатся на одну параболу.

$H_\infty, э$	$-\delta_{op}(I) \cdot 10^4$	$-\delta_{op}(II) \cdot 10^4$	$H_\infty, э$	$-\delta_{op}(I) \cdot 10^4$	$-\delta_{op}(II) \cdot 10^4$
8	0,2	0,19	50	1,58	1,54
14	0,4	0,38	56	1,76	1,75
20	0,63	0,63	62	1,87	1,91
26	0,85	0,82	68	1,97	2,03
32	1,03	1	72	2,08	2,09
38	1,2	1,2	78	2,2	2,2
44	1,47	1,42			

Однако прямым доказательством квадратичной зависимости  $\delta_{op}$  от составляющей намагнченности перпендикулярной плоскости падения и обоснованием использованной нормировки для  $\delta_{op}^s$  является следующий результат. Пусть угол  $\phi$  изменяется от  $\phi_1$  до  $\phi_2$  в области вращения  $I_s$ . При этом компонента  $I_x/I_s$  изменяется от  $\sin \phi_1$  до  $\sin \phi_2$ , а компонента  $I_y/I_s$  от  $\cos \phi_1$  до  $\cos \phi_2$ . Если эффект  $\delta_{op}$  пропорционален квадрату намагнченности, то при экваториальном намагничивании (I)  $\delta_{op}/\delta_{op}^s = \sin^2 \phi_1 - \sin^2 \phi_2$ , а при меридиональном намагничивании (II)  $\delta_{op}/\delta_{op}^s = \cos^2 \phi_2 - \cos^2 \phi_1 = \sin^2 \phi_1 - \sin^2 \phi_2$ , т. е. величины эффеクトов соответствующие одинаковым значениям  $H_\infty$  в случаях (I) и (II) должны совпадать. Понятно, что указанное совпадение имеет место только при квадратичной зависимости эффеекта от намагнченности. Кроме того, на этот способ проверки не влияют погрешности связанные с измерением величин  $I_R/I_s$  и  $H_s$  пленки и установки амплитуд  $H_\perp$  и  $H_\infty$ . В таблице проведено сравнение измеренных величин  $\delta_{op}$  в случаях (I) и (II) при  $\hbar\omega = 0,59$  эв и различных значениях  $H_\infty$  ( $H_\perp = H_s$ ), а на рис. 2 проведено соответствующее сравнение эффектов  $\delta_{op}$  (I) и  $\delta_{op}$  (II) при изменении намагнченности от  $I_R$  до  $I_s$  для различных  $\lambda$ . Хорошее совпадение численных значений  $\delta_{op}$  в случаях (I) и (II) доказывает, что эффект  $\delta_{op}$  прямо пропор-

ционален квадрату составляющей намагниченности перпендикулярной  
плоскости падения света.

Московский  
государственный университет  
им. М.В.Ломоносова

Поступила в редакцию  
9 декабря 1969 г.

Литература

- [ 1] Г.С.Кринчик, В.С.Гущин. Письма в АЭТФ, 16, 25, 1969.  
[ 2] Г.С.Кринчик, Е.Е.Чепурова. Физика магнитных пленок. Материалы  
Международного симпозиума, Иркутск 1969, стр. 140.
-